

1) Intro

On va étudier la supraconductivité topologique.

La supraconductivité : certains métaux deviennent supra à basse T.

Réf: chapitre 16 du livre de B.A. Bardeen et T.L. Hughes

→ 2 propriétés : 1) résistance nulle (K. Onnes 1911)

2) diamagnétisme parfait, explication théorique du champ magnétique (effet Meissner 1933)

Théorie microscopique de la supraconductivité : BCS 1957. Appariement des électrons en paires de Cooper à cause d'une interaction attractive modifiée par les vibrations du réseau (les phonons). La paire de Cooper a une fonction d'onde qui est plus tendue que la fonction de la paire normale.

de type onde s (pour la paire orbitale) et singulet de spin (i.e. $\frac{|\uparrow\downarrow\rangle - |\downarrow\uparrow\rangle}{\sqrt{2}}$)

$l=0$ symétrique de l'échange des 2 électrons

antisym. de l'échange des 2 él.

La fonction d'onde totale de la paire doit être antisymétrique car il s'agit de 2 fermions.

Grossièrement : paire de Cooper \approx boson chargé (charge = $-2e < 0$, masse = $2m$)

singulet \approx condensation de BE de ces bosons } fonction d'onde macroscopique
 \approx superfluidité non chargée } $\Psi(\vec{r}, t) \propto \Delta(\vec{r}, t)$

Excitations du supraconducteur : modes collectifs du condensat ($|A\rangle$ et Φ), bosons

quasiparticules (bogolins), paire normale, fermions

Plus tard, on a découvert de la supraconductivité non-conventionnelle i.e. pas onde s / singulet.

Pour exemple : onde d / singulet pour les cuprates (supras à hte Tc)
 $(l=2)$.

onde p / triplet pour l'³He superfluide, Sr₂RuO₄ (sulfures), ...
 $(l=1)$ $\uparrow |pp\rangle + |pd\rangle + |dp\rangle + |dd\rangle \rangle / \sqrt{4}$

On pense aussi qu'il peut y avoir un mécanisme d'appariement purement électronique (i.e. sans les phonons). E.g. Kohn et Luttinger : écartage de l'interaction de Coulomb \Rightarrow interaction effective avec oscillations de Friedel (type RKKY) dont le signe change.

Quid du mécanisme RVB d'Anderson ?

On va se concentrer sur la superconductivité p-triplet et chiral de ν , qui brise la symétrie TR. On perd de symétrie $p_x + ip_y$. On va voir en quoi elle est "topologique". C'est l'équivalent spatial de l'isolant de Chern.

ex: supra 2D $p_x + ip_y$: - Sr₂ Ru O₄ - Fu-Kane recipe = surface supra d'un isolant topo 3D fer (STI)

- film d'³He suprafluid de la phase A (Volovik)
- FQHE à $\nu = \frac{5}{2}$ (Moore-Read)

Tableau périodique "10-fold way": classe D à 2D \rightarrow classifiant topologique par un \mathbb{Z} (nb de Chern).

à 1D $\rightarrow \mathbb{Z}_2$ (chaîne de Majorana)

(?) Théorie champ moyen de la supra BCS: formalisme de Bogoliubov-de Gennes (BdG)

(p. 193-196)

$$H = \sum_{\vec{p}, s} c_{\vec{p}s}^+ \underbrace{\left(\frac{\vec{p}^2}{2m} - \mu \right)}_{\equiv \epsilon_0(\vec{p})} c_{\vec{p}s} \quad s = \uparrow, \downarrow$$

$\{c_{\vec{p}s}, c_{\vec{p}'s'}^+\} = S_{\vec{p}, \vec{p}'}^+, S_{ss'}^-$

$\{c_{\vec{p}s}, c_{\vec{p}'s'}^-\} = 0$ (pas trivial !)

$\{c_{\vec{p}s}^+, c_{\vec{p}'s}^-\} \neq 0$ fermions complexes

Hamiltonien gal canonique
 $= H_{kin} - \mu N$

$$\cancel{H} \quad c_{\vec{p}s}^+ c_{\vec{p}s} = \frac{1}{2} c_{\vec{p}s}^+ c_{\vec{p}s} + \frac{1}{2} c_{\vec{p}s}^+ c_{\vec{p}s} = \frac{1}{2} c^+ c - \frac{1}{2} c c^+ + \frac{1}{2}$$

$$\Rightarrow H = \frac{1}{2} \sum_{\vec{p}, s} \left(c_{\vec{p}s}^+ \epsilon_0(\vec{p}) c_{\vec{p}s} - c_{\vec{p}s} \epsilon_0(-\vec{p}) c_{\vec{p}s}^+ \right) + \underbrace{\frac{1}{2} \sum_{\vec{p}, s} \epsilon_0(\vec{p})}_{\sum_{\vec{p}} \epsilon_0(\vec{p}) = \text{cte } (\infty)} \quad \text{on oublie}$$

$$H = \frac{1}{2} \sum_{\vec{p}, s} \left(c_{\vec{p}s}^+ \epsilon_0(\vec{p}) c_{\vec{p}s} - c_{\vec{p}s} \epsilon_0(-\vec{p}) c_{\vec{p}s}^+ \right)$$

$$H = \sum_{\vec{p}} \underbrace{(c_{\vec{p}\uparrow}^+ c_{\vec{p}\downarrow}^+ c_{-\vec{p}\uparrow} c_{-\vec{p}\downarrow})}_{= \psi_p^+} \frac{1}{2} \begin{pmatrix} \epsilon_0(\vec{p}) & 0 & & \\ 0 & \epsilon_0(\vec{p}) & & \\ & & -\epsilon_0(-\vec{p}) & 0 \\ & & 0 & -\epsilon_0(-\vec{p}) \end{pmatrix} \begin{pmatrix} c_{\vec{p}\uparrow} \\ c_{\vec{p}\downarrow} \\ c_{-\vec{p}\uparrow} \\ c_{-\vec{p}\downarrow} \end{pmatrix} = H_{BdG}(\vec{p})$$

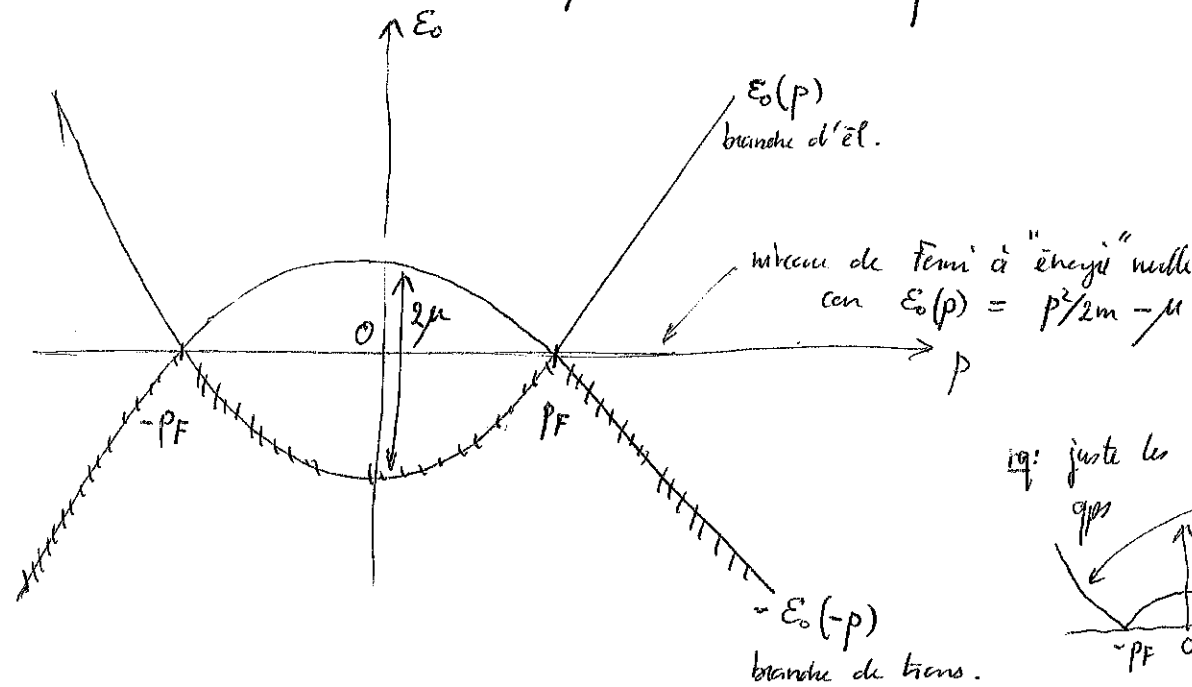
Hamiltonien
en 2nde quantif.

\sim Hamiltonien en
1er quantif.
 \sim Hamiltonien de Bloch.

Formalisme redondant, doubletage artificiel des d.d.l. On a l'impression d'une structure 4×4 alors qu'en dépoint, à chaque \vec{p} il n'y a que $5 = 1 + 4$ i.e. 2×2 . Ici le spinor de Nambu :

$$\psi_{\vec{p}} = \begin{pmatrix} C_{\vec{p}\uparrow} \\ C_{\vec{p}\downarrow} \\ C_{-\vec{p}\uparrow}^+ \\ C_{-\vec{p}\downarrow} \end{pmatrix} \quad \begin{array}{c} \text{annihilation} \quad \text{émission spin } \uparrow, \text{ impulsion } \vec{p} \\ \hline \text{tron } \rightarrow \downarrow, \quad \vec{p}, \quad \vec{p} \end{array}$$

car annihilation tron spin \downarrow et impulsion \vec{p}
 = réaction émission spin \uparrow $\rightarrow -\vec{p}$



Doubletage car on remplace son \vec{p} et son $-\vec{p}$ et donc $C_{-\vec{p}\uparrow}^+$ apparaît à la fois comme tron de $\psi_{\vec{p}}$ et comme émission de $\psi_{-\vec{p}}$.

Symétrie particule-tron (artificielle) :

$$H_{\text{bolG}}(\vec{p}) = \left(\begin{array}{c|c} E_0(\vec{p}) & 0 \\ \hline 0 & -E_0(-\vec{p}) \end{array} \right) \text{ et } \rightarrow T_x K H_{\text{bolG}}(-\vec{p}) K T_x = \left(\begin{array}{c|c} 0 & 1 \\ \hline 1 & 0 \end{array} \right)$$

$$= T_x \left(\begin{array}{c|c} E_0(-\vec{p})^* & 0 \\ \hline 0 & -E_0(+\vec{p})^* \end{array} \right) T_x = \left(\begin{array}{c|c} -E_0(\vec{p}) & 0 \\ \hline 0 & E_0(\vec{p}) \end{array} \right) = - \left(\begin{array}{c|c} E_0(\vec{p}) & 0 \\ \hline 0 & -E_0(-\vec{p}) \end{array} \right) = -H_{\text{bolG}}(\vec{p})$$

On retient

$$\underbrace{T_x K H_{\text{bolG}}(-\vec{p}) K T_x}_{H_{\text{bolG}}(-\vec{p})^*} = -H_{\text{bolG}}(\vec{p})$$

Attraction entre électrons + traitement champ moyen \Rightarrow

$$H_A = \sum_{\vec{p}} \left(\Delta c_{p\uparrow}^+ c_{p\downarrow}^+ + \Delta^* c_{-p\downarrow}^- c_{p\uparrow} \right) \quad \begin{matrix} \text{"parity potential"} \\ \text{(appartement entre } \vec{p}, \uparrow \text{ et } -\vec{p}, \downarrow) \end{matrix}$$

$\in \mathbb{C}$ Δ est proportionnel à ~~à~~ est un paramètre d'ordre supérieur

Hamiltonien quadratique, fermées sans intérêt°

mais ne conserve plus le nb de fermions complexes mais uniquement la parité (on peut venir en annihiler 2 électrons à la fois : c^+c^+ et cc^- pas uniquement c^+c^- ou cc^+). Symétrie de jauge \mathbb{Z}_2 et plus $U(1)$. Charge conservée modulo 2.

$$\begin{aligned}
 H_{\text{tot}} = H + H_{\Delta} &= \sum_p \left[\frac{1}{2} (C_{p\uparrow}^+ \epsilon_0(p) C_{p\uparrow} + C_{p\downarrow}^+ \epsilon_0(p) C_{p\downarrow} - C_{-p\uparrow}^- \epsilon_0(-p) C_{-p\uparrow}^+ - C_{-p\downarrow}^- \epsilon_0(-p) C_{-p\downarrow}^+) \right. \\
 &\quad \left. + (\Delta C_{p\uparrow}^+ C_{-p\downarrow}^+ + \Delta^* C_{-p\downarrow}^- C_{p\uparrow}) \right] \xrightarrow{\frac{1}{2} \Delta C_{p\uparrow}^+ C_{-p\downarrow}^+ - \frac{1}{2} \Delta C_{-p\downarrow}^- C_{p\uparrow}^+} \text{tame de couple et trou} \\
 &= \sum_p \psi_p^+ \frac{1}{2} \begin{pmatrix} \epsilon_0(p) & 0 & | & 0 & \Delta \\ 0 & \epsilon_0(p) & | & -\Delta & 0 \\ \hline 0 & -\Delta^* & | & -\epsilon_0(-p) & 0 \\ \Delta^* & 0 & | & 0 & -\epsilon_0(-p) \end{pmatrix} \psi_p \\
 &\equiv H_{\text{BDG}}(p)
 \end{aligned}$$

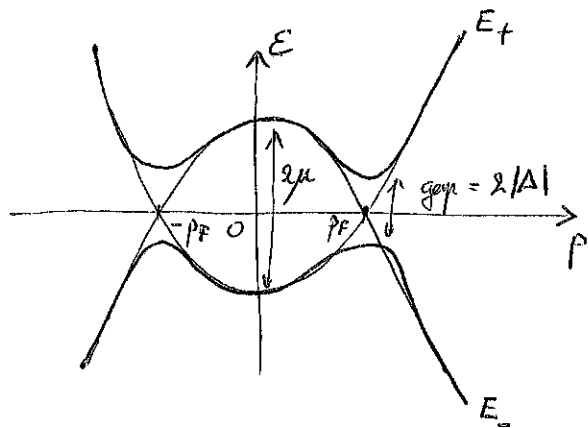
$$\text{check: } C_{pT}^+ \left[\varepsilon_0(p) C_{pT}^- + \Delta C_{-pT}^+ \right] = \varepsilon_0(p) C_{pT}^+ C_{pT}^- + \Delta C_{pT}^+ C_{-pT}^+ \quad \text{ok.}$$

$$H_{BdG}(p) = E_0(p) \underbrace{I_3}_{\Delta_R} S_0 - (\text{Re } \Delta) \underbrace{I_2}_{\Delta_I} S_2 - (\text{Im } \Delta) \underbrace{I_2}_{\Delta_I} S_2$$

cen $E_0(-p) = E_0(p)$

$$\begin{aligned} H_{\text{hol}}(p)^2 &= E_0(p)^2 \underbrace{T_y^2}_{\substack{\parallel \\ 1}} + \Delta_R^2 \underbrace{T_y^2 s_y^2}_{=1} + \Delta_I^2 \underbrace{T_x^2 s_y^2}_{=1} \quad \text{can} \quad \begin{cases} T_y, T_y s_y \neq 0 \\ T_y, T_x s_y = 0 \\ T_y s_y, T_x s_y = 0 \end{cases} \\ &= [E_0(p)^2 + |\Delta_I|^2] \parallel \end{aligned}$$

$$\Rightarrow \text{spectre : } E_{\pm}(p) = \pm \sqrt{E_0(p)^2 + |\Delta|^2} \quad (\text{diag. double})$$



Il s'agit des spectres des excitations à 1 fermion complexe (on parle de bogolins). Ce sont des excitations qui mêlent un électron et 1 trou. Alors que dans un métal il y a soit des électrons, soit des trous. Le spectre est gagné ($\text{gap} = 2|\Delta|$ en p_F) comme pour un isolant de bande mais avec une symétrie particule-trou.

Tronc de Bogolino :

~~$$\delta_{t,p,\uparrow}^+$$~~

$$H = \sum_{\vec{p}} \left(E_+(\vec{p}) \delta_{t,\vec{p},\uparrow}^+ \delta_{t,\vec{p},\uparrow}^- + E_-(\vec{p}) \delta_{-,p,\uparrow}^+ \delta_{-,p,\uparrow}^- \right)$$

on

$$\begin{cases} \delta_{t,\vec{p},\uparrow}^+ = \sin \alpha_p C_{p\uparrow}^+ + \cos \alpha_p C_{-p\downarrow} \\ \delta_{t,\vec{p}\downarrow}^+ = -\sin \alpha_p C_{p\downarrow}^+ + \cos \alpha_p C_{p\uparrow} \\ \delta_{-,p,\uparrow}^+ = \sin \beta_p C_{p\uparrow}^+ + \cos \beta_p C_{-p\downarrow} \\ \delta_{-,p,\downarrow}^+ = -\sin \beta_p C_{p\downarrow}^+ + \cos \beta_p C_{p\uparrow} \end{cases} \quad \text{ici on a pris } \Delta = |\Delta| > 0$$

on

$$\tan \alpha_p = \frac{E_0(p) + E_+(p)}{|\Delta|} \quad \tan \beta_p = \frac{E_0(p) + E_-(p)}{|\Delta|} = \frac{E_0(p) - E_+(p)}{|\Delta|}$$

$$\begin{aligned} \delta_{-,p,\downarrow}^+ &= -\sin \beta_p C_{-p\downarrow}^+ + \cos \beta_p C_{p\uparrow}^+ \\ &= \delta_{t,p,\uparrow}^+ \end{aligned} \quad \left. \right\} \text{redondance}$$

tg: plus loin de la condit° d'un fermion nul (Majorana) $\delta = \delta^+$

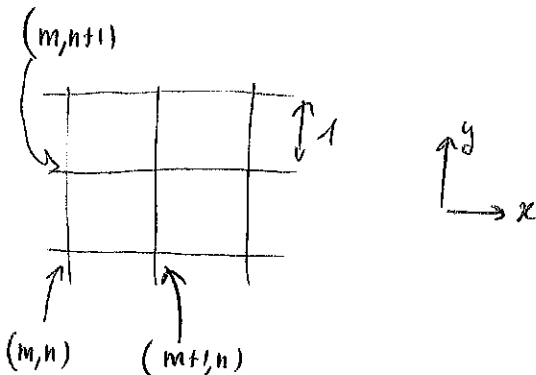
Dans l'état fender, tous les états (à "1 particule") d'énergie < 0 sont occupés et tous les autres sont vides. Vicinement similaire à un isolant de ferme (avec une symétrie PH en plus).

tg: when $E_0(p)$ is close to zero then bogoliu 50% electron and 50% hole
qd $E_0(p)$ est grand (e.g. $p \gg p_F$) bogoliu n trou ou bogoliu n électron

3) Super chiral onde p 2D (p. 201-206) [classe D dans 10-fold way, d=2 $\rightarrow \mathbb{Z}$]

On va se mettre sur réseau Γ et considérer des électrons sans spin (on polarise de spin) :

$$\mathcal{H} = \sum_{m,n} \left\{ -t(C_{m+1,n}^+ c_{m,n} + C_{m,n}^+ c_{m+1,n}) - t(C_{m+1,n+1}^+ c_{m,n} + C_{m,n}^+ c_{m,n+1}) \right. \\ - (\mu - 4t) C_{m,n}^+ c_{m,n} \\ \left. + \Delta C_{m+1,n}^+ c_{m,n}^+ + \Delta^* C_{m,n}^+ c_{m+1,n} \right. \\ \left. + (e^{i\frac{\pi}{2}}) \Delta C_{m,n+1}^+ c_{m,n}^+ + (e^{-i\frac{\pi}{2}}) \Delta^* C_{m,n}^+ c_{m,n+1} \right\}$$



$$\vec{r} = m \vec{a}_x + n \vec{a}_y \quad a \in \mathbb{Z}$$

super onde p en sorte de scint 1er voisin
chirale à cause de la phase $e^{i\frac{\pi}{2}}$

$$\Delta C_j^+ c_i \quad j \neq i$$

$$\{C_{m,n}, C_{m',n'}^+\} = \delta_{m,m'} \delta_{n,n'}$$

$$\{C_{m,n}, C_{m',n'}\} = 0$$

$$\boxed{\begin{aligned} C_{m,n}^+ &\neq C_{m,n} \\ \Rightarrow H_{LG}(\vec{p}) &= \begin{pmatrix} \mathcal{E}_0(\vec{p}) & -2t(\cos px + \cos py) - (\mu - 4t) e^{i\pi/2} \\ 2i\Delta(\sin px + i \sin py) & -\mathcal{E}_0(-\vec{p}) \end{pmatrix}_{2 \times 2} \end{aligned}}$$

Rq: si Δ est homogène, on peut résoudre par transformée de Fourier (TF)

dimo: $C_{m,n}^+ = \frac{1}{A} \sum_{\vec{k}} e^{-i\vec{k} \cdot \vec{r}_{m,n}} C_{\vec{k}}^+$ can $|\vec{r}\rangle = \sum_{\vec{k}} \langle \vec{k} | \vec{r} \rangle |\vec{k}\rangle$

$$\frac{1}{A} e^{-i\vec{k} \cdot \vec{r}}$$

a) $\sum_{m,n} C_{m,n}^+ C_{m,n} = \frac{1}{A^2} \sum_{\vec{k}, \vec{k}'} \underbrace{\sum_{m,n} e^{i\vec{k} \cdot \vec{r}^m - i\vec{k}' \cdot \vec{r}^n}}_{A \delta_{\vec{k}, \vec{k}'}} C_{\vec{k}}^+ C_{\vec{k}'} = \frac{1}{A} \sum_{\vec{k}} C_{\vec{k}}^+ C_{\vec{k}}$

b) $\sum_{m,n} C_{m+1,n}^+ C_{m,n} + h.c. = \frac{1}{A^2} \sum_{\vec{k}, \vec{k}'} C_{\vec{k}}^+ C_{\vec{k}'} \underbrace{\sum_{m,n} e^{-i\vec{k} \cdot (m+1)} e^{i\vec{k}' \cdot m} e^{-i\vec{k} \cdot n} e^{i\vec{k}' \cdot n}}_{e^{-i\vec{k} \cdot n} A \delta_{\vec{k}', \vec{k}}} + h.c.$

$$= \frac{1}{A} \sum_{\vec{k}} c_{\vec{k}}^+ c_{\vec{k}}^- \underbrace{(e^{-ik_x} + e^{ik_x})}_{2 \cos k_x}$$

c) $\sum_{m,n} c_{m+1,n}^+ c_{m,n}^+ = \frac{1}{A^2} \sum_{\vec{k}, \vec{k}'} c_{\vec{k}}^+ c_{\vec{k}'}^+ \underbrace{\sum_{m,n} e^{-ik_x(m+1)} e^{-ik'_x m} e^{-ik_y n} e^{-ik'_y n}}_{A e^{-ik_x} S_{k_x, -k_x} S_{k'_y, -k_y}}$

$$= \frac{1}{A} \sum_{\vec{k}} c_{\vec{k}}^+ c_{-\vec{k}}^+ e^{-ik_x} \\ = \cos k_x - i \sin k_x$$

or $\sum_{k_x} c_{k_x}^+ c_{-k_x}^+ \cos k_x = \sum_{k'_x} c_{k'_x}^+ c_{k'_x}^- \cos(-k'_x) = \sum_{k_x} \underbrace{c_{k_x}^+ c_{k_x}^-}_{= -c_{k_x} c_{k_x}^+} \cos k_x \Rightarrow X = -X$
i.e. $X = 0$.

$$\Rightarrow = \frac{1}{A} \sum_{\vec{k}} c_{\vec{k}}^+ c_{-\vec{k}}^+ (-i \sin k_x)$$

afol.

Dans la limite $\vec{p} \rightarrow 0$:

$$H_{\text{BDG}}(\vec{p}) \approx \begin{pmatrix} \frac{\vec{p}^2}{2m} - \mu & 2i\Delta(p_x + ip_y) \\ -2i\Delta(p_x - ip_y) & -\left(\frac{\vec{p}^2}{2m} - \mu\right) \end{pmatrix} \quad \begin{array}{ll} \text{R} \vec{p} & \Delta \cdot p^l \\ l=0 & \text{onde s} \\ l=1 & \text{---} \\ l=2 & \text{---} \\ \text{etc} & \text{d} \end{array}$$

où $\frac{1}{2m} = t$ et le terme d'appariement est en $\Delta \cdot (p_x + ip_y)$ [plutôt qu'en

Δ comme pour l'onde s]: il a la structure caractéristique de supra $p_x + ip_y$.

Btre TRS : $H_{\text{BDG}}(-\vec{p})^* = \begin{pmatrix} \varepsilon_0(-\vec{p})^* & -2i\Delta[\sin(-p_x) - i \sin(-p_y)] \\ \text{cc} & -\varepsilon_0(\vec{p})^* \end{pmatrix}$

$$= \begin{pmatrix} \varepsilon_0(\vec{p}) & 2i\Delta(\sin p_x - i \sin p_y) \\ \text{cc} & -\varepsilon_0(-\vec{p}) \end{pmatrix}$$

$\neq H_{\text{BDG}}(\vec{p})$ à cause de

c'est le caractère chiral.

On connaît plus facile de la supra $p_x + p_y$ plutôt que $p_x \pm ip_y$ [Onde p non-chiral].

$$H_{\text{BDG}}(\vec{p}) = \varepsilon_0(\vec{p}) I_3 - 2|\Delta| \sin p_x T_y - 2|\Delta| \sin p_y T_x$$

n' $\Delta = |\Delta|$

(on peut faire ce choix n' A est homogène)

Hamiltonien de Dirac 2+1 massif

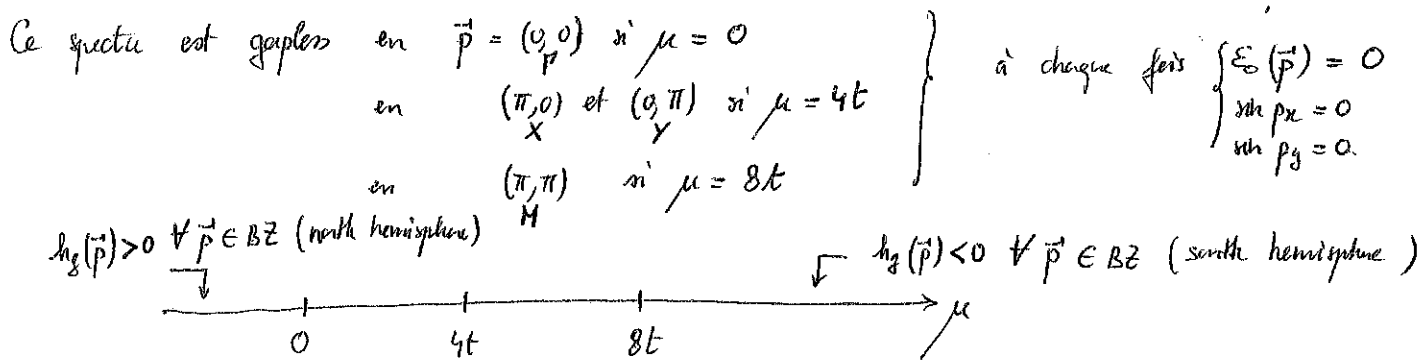
$$\underset{\vec{p} \rightarrow 0}{\approx} \left(\frac{\vec{p}^2}{2m} - \mu \right) I_3 - 2|\Delta| p_x T_y - 2|\Delta| p_y T_x$$

$$H_{\text{Dirac}}(\vec{p}) \underset{\vec{p} \rightarrow 0}{\underset{\equiv 0}{\sim}} -2|\Delta| (p_y T_x + p_x T_y) + \left(\frac{p^2}{2m} - \mu \right) T_3$$

$$\equiv M(p)v^2 \quad \text{la masse de Dirac dépend de } \vec{p}$$

$$\text{Le spectre est } E_{\pm}(\vec{p}) = \pm \sqrt{4|\Delta|^2 (\sin^2 p_x + \sin^2 p_y) + E_0(\vec{p})^2}$$

On commence à avoir les ingrédients d'une structure de bande topologique.



Le nombre de Chiral ν de la bande occupée est donné par le degré de l'application :

$$\vec{p} \in T^2 = BZ = [-\pi, \pi]^2 \longrightarrow \vec{h}(\vec{p}) = \begin{cases} -2|\Delta| \sin p_y \\ -2|\Delta| \sin p_x \\ -2t(\cos p_x + \cos p_y) - (\mu - 4t) \end{cases} \equiv M(\vec{p})$$

$$= E_{+}(\vec{p}) \underset{\in S^2}{\underbrace{n(\vec{p})}}$$

or $\pi_1(S^2) = \mathbb{Z}$ nb d'enroulement.

On parle de supra topologique qd $\nu \neq 0$.

Il y a des états de bord gapless chiraux (comme de l'effet Hall quantique) mais ils ne sont pas chargés. Ce sont des modes de Majorana chiraux. Il n'y a pas d'EHD mais une quantification du transport de la charge.

Rq: points de Dirac déf. par $h_R(\vec{p}) = 0 = h_L(\vec{p}) \Rightarrow P, X, Y \text{ et } M$

$$\left. \begin{array}{ll} M(P) = -\mu & \text{chiralité} = + \\ M(X) = M(Y) = 4t - \mu & \text{chiralité} = - \\ M(M) = 8t - \mu & \text{chiralité} = + \end{array} \right\} \quad \begin{aligned} \nu &= \frac{1}{2} \sum_D \chi_D \operatorname{sgn}[M(D)] \\ &= \frac{1}{2} \operatorname{sgn}(-\mu) + \frac{1}{2} \operatorname{sgn}(8t - \mu) - \cancel{\frac{1}{2} \operatorname{sgn}(4t - \mu)} \end{aligned}$$

qd $\mu < 0$, $\nu = 0$ car hémisphère nord $M(M) > 0$

qd $0 < \mu \cancel{\leq 4t}$, $M(M) < 0$ donc $\Delta\nu = \pm 1 \rightarrow \nu = \pm 1$ ms $M(X) = M(Y) > 0$ et $M(M) > 0$

qd $4t < \mu \cancel{\leq 8t}$, $M(X) = M(Y) = 4t - \mu < 0$ donc $\Delta\nu = \pm 2 \rightarrow \nu = \pm 2$

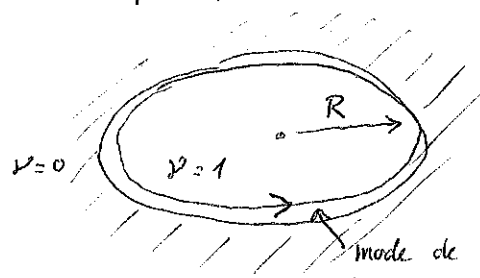
qoi $8t < \mu$ $M(M)$ chg de signe et devant < 0 donc $\Delta V = \pm 1 \rightarrow v = 0$

45 9

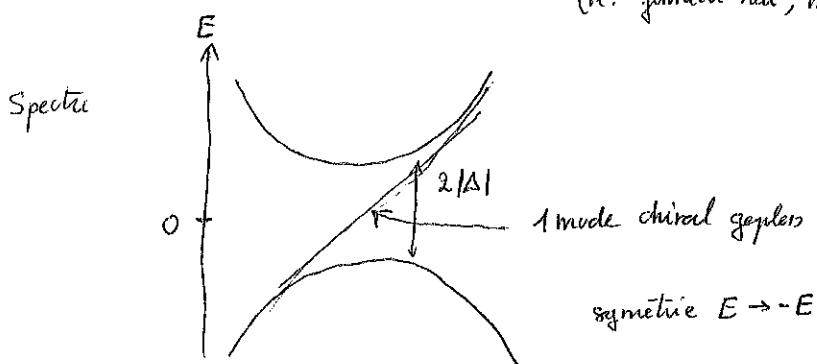
4) Etat lié dans un vortex d'un supra-chiral onde p avec $v = \pm 1$ (p. 206-205)

Argument qualitatif

Prenons un disque de super hydrogène avec $v = 1$ et à l'extérieur soit le nôtre soit un supra-onde $v = 0$:



mode de Majorana chiral et goplon
(i.e. fermion réel, non-chargé, une directe de propagation).



$$\text{si PBC: } p = \text{entier} \times \frac{2\pi}{L} \quad \text{où} \quad L = 2\pi R$$

$$= \text{entier} \times \frac{1}{R} \quad \text{alors} \quad E_n = n \frac{v}{R} = (0; \pm 1; \pm 2; \dots) \frac{v}{R}, \quad n \in \mathbb{Z}$$

la matrice $H_{BDG}(k)$ est de dimension $2N \times 2N$

l'espace de Hilbert est de dimension paire et symétrique $E \rightarrow -E$.

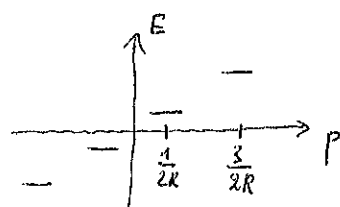
Mais par construction de H_{BDG}

Donc s'il y a un état à $E = 0$, il y en a un, nécessairement. Donc $p = \text{entier}/R$ est \emptyset .

En réalité, il y a une phase de Berry de π qui fait que $E_n = (n + \frac{1}{2}) \frac{v}{R}, \quad n \in \mathbb{Z}$

$$= (\pm \frac{1}{2}; \pm \frac{3}{2}; \pm \frac{5}{2}; \dots) \frac{v}{R}$$

Rq: anti-périodique c'est $(2n+1) \times \frac{\pi}{L} = p$
car

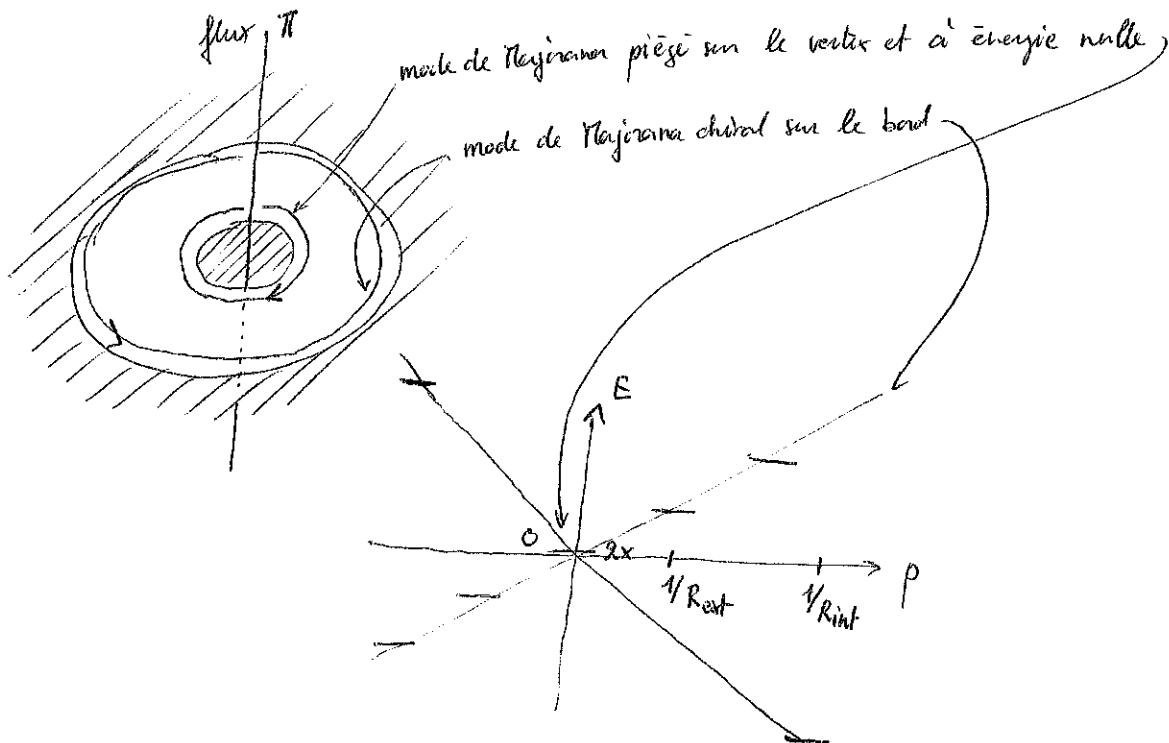


et on a bien un nb pair d'états et la symétrie $E \rightarrow -E$. Comme si ABC (anti-périodique boundary conditions)

Comment obtenir un mode de Majorana à énergie nulle (NZN)? On va utiliser l'effet Aharonov-Bohm pour refaire toutes les conditions au bord de parti-périodique (APC) à périodique (PBC).

On insère un tube de flux $\frac{\hbar}{2e} = \pi \frac{\hbar}{e}$ qui correspond à un chgt de phase de π (en effet un vortex dans un signal de type II perte un flux quantifié à $\frac{\phi_0}{2} = \phi_0^{\text{sc}} = \frac{\hbar}{2e}$). Ceci a pour effet de faire passer le mode de Majorana chiral à $E_n = n \frac{V}{R}$, $n \in \mathbb{Z}$. Comment rétablir la périodicité du nb d'états ? Il faut qu'il y ait un mode à énergie nulle piégé sur le vortex.

Conclusion : lorsqu'on insère un tube de flux dans un signal type à $v=1$ (impair) il y a un MZM piégé sur le cœur du vortex.



Rq: signal type 2 ou qgq $\cong v \times$ signal type de Chern = 1
dans un vortex il y a v MZM mais ils s'hybrident localement 2 par 2 et ne restent pas à énergie nulle.

Donc il y a un MZM si v est impair. Classification \mathbb{Z}_2 des vortex.

Rq: un majorana (MZM) seul n'a pas d'espace de Hilbert, sa dim. quantique est $\sqrt{2}$
il faut deux majoranas pour faire un fermion complet et avoir un espace de Hilbert de dim. 2.

En effet, si γ_1 et γ_2 sont 2 majs i.e. $\{\gamma_1, \gamma_2\} = 0$, $\gamma_1^+ = \gamma_1$, $\gamma_2^+ = \gamma_2$
et $\gamma_1^2 = 1$, $\gamma_2^2 = 1$

$$\text{soit } c = \frac{\gamma_1 + i\gamma_2}{2} \quad \text{alors} \quad \{c, c^+\} = \frac{1}{2} \{ \gamma_1 + i\gamma_2, \gamma_1 - i\gamma_2 \} \\ = \frac{1}{2} (\gamma_1^2 + 0 + 0 + 2\gamma_2^2) = 1$$

alors on déf. $|0\rangle$ par $c|0\rangle = 0$ et $|1\rangle$ par $|1\rangle = c^+|0\rangle$

alors $c^+c|0\rangle = 0$ et $c^+c|1\rangle = (1)|1\rangle$. Dim = 2 car rien non occupé.

$$c^2 = \frac{1}{4} (\gamma_1^2 - \gamma_2^2 + i\gamma_1\gamma_2 + i\gamma_2\gamma_1) = \frac{1}{4} (1 - 1 + i\gamma_1\gamma_2) = 0 \text{ ok.}$$

Classification (periodic table) of topological insulators and superconductors

A.P. Schnyder, S. Ryu, A. Furusaki and A.W.W. Ludwig, arXiv:0905.2029 and arXiv:0803.2786
see also A. Kitaev, arXiv:0901.2686

TABLE 2. Summary of the *main result of this paper*: listed are again the ten symmetry classes of single particle Hamiltonians (from TABLE 1) classified in terms of the presence or absence of time-reversal symmetry (TRS) and particle-hole symmetry (PHS), as well as sublattice (or “chiral”) symmetry (SLS) [17, 18, 19]. The last three columns list all possible topologically non-trivial quantum ground states as a function of symmetry class and spatial dimension d . The symbols \mathbf{Z} and \mathbf{Z}_2 indicate that the space of quantum ground states is partitioned into different topological sectors labeled by an integer (\mathbf{Z}), or a \mathbf{Z}_2 quantity (two sectors only), respectively.

System	Cartan nomenclature	TRS	PHS	SLS	$d = 1$	$d = 2$	$d = 3$
standard (Wigner-Dyson)	A (unitary)	0	0	0	-	\mathbf{Z}	-
	AI (orthogonal)	+1	0	0	-	\mathbf{Z}	-
	AII (symplectic)	-1	0	0	-	\mathbf{Z}_2	\mathbf{Z}_2
chiral (sublattice)	AIII (chiral unit.)	0	0	1	\mathbf{Z}	-	\mathbf{Z}
	BDI (chiral orthog.)	+1	+1	1	\mathbf{Z}	-	-
	CII (chiral sympl.)	-1	-1	1	\mathbf{Z}	-	\mathbf{Z}_2
BdG (superas)	D	0	+1	0	\mathbf{Z}_2	\mathbf{Z}	-
	C	0	-1	0	\mathbf{Z}	\mathbf{Z}	-
	DIII	-1	+1	1	\mathbf{Z}_2	\mathbf{Z}_2	\mathbf{Z}
	CI	+1	-1	1	-	-	\mathbf{Z}

Annotations:

- \mathbf{Z} and \mathbf{Z}_2 indicate topological sectors.
- Standard Wigner-Dyson: \mathbf{Z} , \mathbf{Z}_2 .
- Chiral sublattice: \mathbf{Z} , \mathbf{Z}_2 .
- BdG superfluids: \mathbf{Z}_2 , \mathbf{Z} .
- Specific notes: SSH mais en version orbitale s et p sur le site; Supera de los ogenigas 1D.

TABLE 4. Reorganizing Table 2 by reordering the symmetry classes and grouping them into two separate lists reveals a regular pattern, which was recently pointed out by A. Kitaev Ref. [16].

Cartan nomenclature	TRS	PHS	SLS	Hamiltonian	$d = 1$	$d = 2$	$d = 3$	
périodicité complexe de Bott (2 classes)	AIII (chiral unit.)	0	0	1	$U(N+M)/U(N) \times U(M)$	\mathbf{Z}	-	\mathbf{Z}
	A (unitary)	0	0	0	$U(N)$	-	\mathbf{Z}	-
périodicité réelle de Bott (8 classes)	BDI (chiral orthog.)	+1	+1	1	$SO(N+M)/SO(N) \times SO(M)$	\mathbf{Z}	-	-
	D	0	+1	0	$SO(2N)$	\mathbf{Z}_2	\mathbf{Z}	-
	DIII	-1	+1	1	$SO(2N)/U(N)$	\mathbf{Z}_2	\mathbf{Z}_2	\mathbf{Z}
	AII (symplectic)	-1	0	0	$U(2N)/Sp(2N)$	-	\mathbf{Z}_2	\mathbf{Z}_2
	CII (chiral sympl.)	-1	-1	1	$Sp(2N+2M)/Sp(2N) \times Sp(2M)$	\mathbf{Z}	-	\mathbf{Z}_2
	C	0	-1	0	$Sp(2N)$	-	\mathbf{Z}	-
	CI	+1	-1	1	$Sp(2N)/U(N)$	-	-	\mathbf{Z}
	AI (orthogonal)	+1	0	0	$U(N)/O(N)$	-	-	-